

## تأثیر مصرف چای سبز (Camellia Sinensis) بر بافت بیضه رت در پی تیمار با پارانوایل فنل

محمدعلی شریعتزاده<sup>\*</sup>، ملک سلیمانی مهرجانی<sup>آ</sup>، سمیرا نادری نورعینی<sup>آ</sup>

### خلاصه

مقدمه: پارانوایل فنل (Para-Nonylphenol یا p-NP) می‌تواند از طریق کاهش فعالیت آنزیم‌های مهار کننده رادیکال آزاد موجب استرس اکسیداتیو شود. هدف از مطالعه حاضر، بررسی تأثیر عصاره چای سبز (Green tea extract) یا GTE) به عنوان یک آنتی‌اکسیدان در بافت بیضه رت‌های تیمار شده با p-NP بود.

روش: ۲۶ سر رت نژاد ویستار با میانگین وزنی  $10 \pm 2.15$  گرم به ۴ گروه شش تابی تقسیم شدند. گروه اول به عنوان گروه شاهد در نظر گرفته شد و گروه‌های تیمار به ترتیب p-NP (۲۰۰ میلی گرم بر کیلو گرم به صورت روزانه)، GTE (۲۰۰ میلی گرم بر کیلو گرم به صورت روزانه) و p-NP + GTE را به صورت دهانی به مدت ۶۵ روز دریافت کردند. سپس رت‌ها کشته و بیضه راست آن‌ها خارج شد. بعد از مراحل پاساژ بافتی و رنگ‌آمیزی، حجم لوله‌های منی‌ساز و بافت بینایی، قطر و طول لوله‌های منی‌ساز، ارتفاع اپی‌تیلیوم زایشی، ضخامت غشای پایه و تعداد انواع سلول‌ها با روش‌های استریولوژیک محاسبه گردید. غلظت مالون دی‌آلدئید (MDA) یا Malondialdehyde سرم نیز مورد ارزیابی قرار گرفت. داده‌ها با استفاده از آزمون One way ANOVA تجزیه و تحلیل گردید و  $P < 0.05$  به عنوان سطح معنی‌داری در نظر گرفته شد.

یافته‌ها: میانگین حجم لوله‌های منی‌ساز و قطر آن‌ها، ضخامت غشای پایه لوله‌های منی‌ساز، ارتفاع اپی‌تیلیوم زایشی و میانگین تعداد سلول‌های اسپرماتوسیت، اسپرماتید و سرتولی در گروه p-NP نسبت به دیگر گروه‌ها به طور معنی‌داری کاهش یافت. غلظت MDA نیز در رت‌های تیمار شده با p-NP در مقایسه با گروه شاهد به طور قابل توجهی افزایش داشت.

نتیجه‌گیری: به نظر می‌رسد GTE بر سمیت ناشی از p-NP بافت بیضه نقش محافظتی دارد. بر اساس نتایج مطالعه، استفاده از چای سبز به عنوان عامل آنتی‌اکسیدانی می‌تواند اثر مهمی در پیشگیری از عوارض جانبی ناشی از در معرض قرار گیری با p-NP در مناطق صنعتی ایفا کند.

واژه‌های کلیدی: استریولوژی، بیضه، پارانوایل فنل، رت، عصاره هیدروالکلی چای سبز

۱- استاد بافت‌شناسی و جنین‌شناسی، گروه زیست‌شناسی، دانشکده علوم پایه، دانشگاه اراک، اراک، ایران ۲- دانشیار بافت‌شناسی و جنین‌شناسی، گروه زیست‌شناسی، دانشکده علوم پایه، دانشگاه اراک، اراک، ایران ۳- کارشناسی ارشد زیست‌شناسی تکوینی، گروه زیست‌شناسی، دانشکده علوم پایه، دانشگاه اراک، اراک، ایران

\*نویسنده مسؤول، آدرس پست الکترونیک: s-shariatzadeh@araku.ac.ir

دریافت مقاله: ۱۳۹۳/۴/۲۱ دریافت مقاله اصلاح شده: ۱۳۹۳/۹/۲۴ پذیرش مقاله: ۱۳۹۳/۱۰/۱۰

## مقدمه

می باشد. چهار نوع کاتچین در برگ های تازه چای وجود دارد که شامل «اپی کاتچین، اپی گالو کاتچین، اپی کاتچین گالات و اپی گالو کاتچین گالات» است (۸). خواص آنتی اکسیدانی، مهار گونه های فعال اکسیژن و تعدیل عملکرد سلول به واسطه فلاونوئیدها، بخش بزرگی از فعالیت های فارماکولوژیک چای سبز را تشکیل می دهد (۹). اثر محافظتی GTE بر بافت بیضه در برابر سمومی همچون کادمیوم، دوکسوروبیسین و نیکوتین مانند جلوگیری از ایجاد تورم، احتقان، خونریزی و نکروز در بیضه و نیز اثر محافظتی بر لوله های منی ساز و تعداد سلول های زایا و نیز جلوگیری از فعالیت موتاژنیک ناشی از سموم در مطالعات اثبات شده است (۱۰-۱۱).

p-NP به میزان زیادی در صنعت تولید می شود. مشخص شده است که سموم محیطی مانند p-NP اثرات زیان آوری بر عملکرد سیستم تولید مثلی دارند و قادر به تولید رادیکال های آزاد اکسیژن و کاهش فعالیت آنزیم های آنتی اکسیدانی هستند که موجب استرس اکسیدانتیو در بافت های مختلف از جمله بیضه می گردد. از سوی دیگر، استفاده از گیاهان دارویی به منظور درمان طیف وسیعی از بیماری ها به سرعت در حال توسعه می باشد. در این بین، به اثرات محافظتی آنتی اکسیدان های با منشأ طبیعی در برابر مسمومیت های ناشی از عوامل شیمیایی توجه ویژه ای شده است (۱۲). بنابراین هدف از مطالعه حاضر، بررسی اثر محافظتی چای سبز بر سمیت ایجاد شده توسط p-NP بر روی بافت بیضه رت بود.

## روش بررسی

۲۴ سر رت نر بالغ نژاد ویستار با میانگین وزنی  $\pm 10$  گرم از انیستیتو پاستور ایران خریداری شد و در خانه حیوانات دانشگاه اراک و در شرایط تاریکی و روشنابی (هر کدام ۱۲ ساعت) و دمای  $2 \pm 2$  درجه سانتی گراد نگهداری شدند. در تمام مدت تحقیق آب و غذای فراوان

تخریب کننده های اندوکرین (Endocrine disruptors) یا EDs ترکیباتی هستند که می توانند با هموستازی سیستم اندوکرینی (درون رین) مداخله کرده، آن را تغییر دهند. اثرات مخرب طولانی مدتی بر سلامت انسان، حیوانات و فرزندان آن ها دارد. این ترکیبات بر سیستم تیروئید، ایمنی، عصبی و متابولیسم عمومی بدن تأثیر می گذارند. پارانونایل فنل (Para-Nonylphenol یا p-NP) نیز در این گروه جای می گیرد و قادر است عملکرد اندوکرینی بدن را تحت تأثیر قرار دهد (۱). p-NP یک ترکیب ارگانیک از خانواده بزرگ آلکیل فنل ها و محصولی است که در صنعت و طی آکریلاسیون فنل سنتز می شود (۲). NP به طور وسیعی در صنعت و تهیه دترجنت ها، امولسیون ها، سورفاکtant ها و در محصولات خانگی مانند رنگ ها، پلاستیک ها و لوازم آرایشی استفاده می شود (۳). ساختار شیمیایی p-NP یک حلقه فنلی مشابه با استرادیول دارد. اثر استروژنیک NP در تعدادی از مطالعات طبیعی بدن و آزمایشگاهی به اثبات رسیده است (۴-۵).

NP از طریق تولید گونه های اکسیژن فعال (Reactive oxygen species یا ROS) موجب القای استرس اکسیداتیو، افزایش سطح ROS و لیپید پراکسیداسیون و کاهش سطح آنزیم های آنتی اکسیدانی مانند سوپراکسید دیسموتاز و گلوتاتیون ردوکتاز در بیضه رت می شود. این ماده بر عملکرد بیضه اثر گذاشت، موجب کاهش میزان تستوسترون گردنش خون، تخریب ساختار بیضه و ممانعت از اسپرماتوژن نز می گردد و می تواند آپوپتوز را در سلول های بیضه رت به ویژه سلول های سرتولی القا کند (۶-۷).

چای سبز از برگ های گیاه Camellia Sinensis استخراج می شود و بعد از آب، متداول ترین آشامیدنی در جهان است که خواص سودمند ضد سرطانی و آنتی اکسیدانی دارد. عصاره چای سبز (Green tea extract یا GTE) حاوی مقادیر فراوانی آنتی اکسیدان های طبیعی فلاونوئید به ویژه کاتچین

موازی با یک عدد تصادفی دیگر بر روی آن زده شد. برش‌های دیگر نیز به صورت موازی و مساوی با برش اول انجام شد. سطح برش خورده قطعه دوم مماس بر محور ۰-۰ ساعت تنا ( $\theta$ ) قرار داشت. سپس یک عدد تصادفی انتخاب و برش‌ها به موازات عدد انتخاب شده تهیه گردید (۱۷). در نهایت ۹-۱۱ قطعه از هر بیضه به دست آمد. قطعات با حفظ جهت درون سبد فلزی قرار گرفتند و پردازش بافتی شدند. پس از تهیه قالب‌های پارافینی، از هر قالب برش‌های بافتی با ضخامت ۵ و ۲۰ میکرون تهیه گردید. برش‌های حاصل شده جهت بررسی استریولوژیک با روش Heidenhain's azan مورد رنگ‌آمیزی بافتی قرار گرفت.

محاسبه چروکیدگی بافت و حجم کل بیضه: برای محاسبه چروکیدگی، با استفاده از تروکار (Trocar) به صورت تصادفی سه قطعه گرد از برش‌های IUR مربوط به بیضه هر رت تهیه شد. سپس دو قطر عمود بر هم اندازه گیری و میانگین شعاع آن محاسبه گردید و به عنوان شعاع قبل از ثبت (r Before) در نظر گرفته شد. پس از مرحله ثابت‌سازی، پاساژ بافتی، برش گیری و رنگ‌آمیزی، قطر قطعات دوباره مانند بالا اندازه گیری و میانگین شعاع به دست آمده به عنوان شعاع پس از ثبت (r After) برآورد شد. در آخر مقدار چروکیدگی در هر بیضه با استفاده از معادله زیر مورد محاسبه قرار گرفت (۱۸). برای به دست آوردن حجم واقعی بیضه، مقدار چروکیدگی از حجم به دست آمده از روش غوطه‌ور سازی کم شد.

$$\text{Shrinkage} = 1 - \left( \frac{r_{\text{after}}^3}{r_{\text{before}}^2} \right)^{\frac{2}{3}}$$

محاسبه حجم لوله‌های منی‌ساز و بافت بینایی: به منظور محاسبه حجم لوله‌های منی‌ساز و بافت بینایی از میکروسکوپ Olympus DP12 مجهر به یک دوربین استفاده شد. پروب نقطه‌ای به طور تصادفی بر روی میدان‌های دیدی که به روش نمونه گیری تصادفی منظم (Systematic

در اختیار حیوانات قرار داشت. سپس حیوانات به طور تصادفی در ۴ گروه شش تایی قرار گرفتند. گروه اول به عنوان گروه شاهد استفاده شد و گروه ۲، ۳ و ۴ به ترتیب با p-NP (۲۰۰ میلی گرم بر کیلو گرم به صورت روزانه)، GTE (۲۰۰ میلی گرم بر کیلو گرم به صورت روزانه) و + p-NP به صورت دهانی و مدت ۶۵ روز تیمار شدند.

با توجه به ویسکوزیته بالای p-NP (Acrose company, New Jersey, USA)، روغن ذرت به عنوان حامل (۱۳) انتخاب گردید. GTE نیز از پژوهشکده گیاهان دارویی جهاد دانشگاهی کرج تهیه و استفاده شد. در پایان دوره تیمار و بعد از توزین حیوانات، ابتدا حیوانات با استفاده از دی‌اتیل اتر بیهوش شدند و پس از تشریح، بیضه راست آنان جداسازی و وزن گردید و حجم بیضه با استفاده از روش غوطه‌ور سازی (Immersion) (۱۴) برآورد شد. سپس بافت بیضه جهت ثبوت بافتی به مدت یک هفته در فیکساتیو (Modified Davidson's fluid) (MDF) (دو بار تعویض فیکساتیو) قرار داده شد. در ضمن خونگیری از قلب حیوان پس از بیهوشی رت‌ها انجام گرفت. نمونه‌های خونی با سرعت ۳۰۰۰ دور در دقیقه به مدت ۵ دقیقه سانتی‌فواز و سرم آن‌ها جدا گردید و تا زمان سنجش میزان مالون دی‌آلدئید (Malondialdehyde MDA) یا در دمای ۸۰- درجه سانتی گراد نگهداری شدند. MDA از شاخص‌های مهم لیپید پراکسیداسیون می‌باشد که میزان آن بر اساس روش Buege و Aust اندازه گیری گردید (۱۶).

برای تهیه برش‌های IUR (Isotropic uniform random) از تکنیک Orientation استفاده شد (۱۷) که برای انجام آن بیضه‌ها به طور تصادفی بر روی ساعتی که به ۹ قسمت مساوی تقسیم شده بود، قرار گرفت. سپس یک عدد تصادفی از ۱ تا ۹ انتخاب و بیضه در امتداد این عدد برش زده و در نتیجه دو قطعه از بیضه ایجاد شد. سطح برش خورده قطعه اول در طول محور ۰-۰ ساعت تنا ( $\theta$ ) که به ۹ قسمت نامساوی تقسیم شده بود، قرار گرفت و سپس برشی

دید مربوط به محاسبه طول لوله‌های منی‌ساز قرار گرفت و قطر عمود بر محور طولی حدود ۱۲۰ لوله منی‌ساز با استفاده از نرم‌افزار موتیک نسخه ۲۰۰۰ (Motic image) اندازه‌گیری گردید (۱۹).

ارتفاع اپی‌تیلیوم زایشی با استفاده از معادله  $H = \frac{Vv}{Sv}$  محاسبه شد که در آن،  $Vv$  دانسیته حجمی اپی‌تیلیوم زایشی و  $Sv$  دانسیته سطح اپی‌تیلیوم زایشی می‌باشد. بدین منظور، به طور متوسط ۵ میدان دید از هر برش ۵ میکرونی بافت بیضه مربوط به هر رت با استفاده از ابزکتیو با بزرگنمایی ۱۰ و روش نمونه‌گیری تصادفی منظم مورد مطالعه قرار گرفت. دانسیته حجمی اپی‌تیلیوم زایشی نیز با استفاده از روش شمارش نقاط به دست آمد. معادله زیر برای محاسبه دانسیته سطح اپی‌تیلیوم زایشی استفاده شد (۱۸).

$$Sv = 2 \times \frac{\sum_{i=1}^n Ii_i}{L/P \cdot \sum_{i=1}^n p_i}$$

در معادله فوق،  $\sum Ii$  تعداد کل برخوردهای پرورب خطی با سطح داخلی اپی‌تیلیوم زایشی،  $\sum P_i$  تعداد کل نقاط برخورد کرده با اپی‌تیلیوم زایشی و  $L/P$  طول خط گرید سطح در مقیاس واقعی بافت می‌باشد.

روش اندازه‌گیری هارمونیک (Harmonic) (۲۰) برای محاسبه میانگین ضخامت غشای پایه لوله‌های منی‌ساز مورد استفاده قرار گرفت. برای انجام این کار از پروربی که دارای خطوط موازی و مساوی (خطوط ایزوتروپیک) بود و همچنین ابزکتیو با بزرگنمایی ۱۰۰ و عکس‌های گرفته شده (حدود ۳۰ عکس) از برش‌های ۵ میکرونی به روش تصادفی منظم استفاده شد. از محل برخورد خطوط پرورب با غشای داخلی غشای پایه، یک خط عمود بر خط توسط غشای خارجی کشیده شد و سپس طول این خط توسط نرم‌افزار Motic اندازه‌گیری گردید. به طور میانگین ۱۲۰

(random sampling) انتخاب شده بود، قرار گرفت. به طور میانگین، ۵ میدان دید از هر برش ۵ میکرونی بررسی و دانسیته حجمی هر یک از پارامترها با استفاده از معادله زیر محاسبه گردید.

$$Vv = \frac{\sum_{i=1}^n P(x)}{\sum_{i=1}^n P_{total}}$$

در این معادله،  $x$  نقاط برخورد کرده با بافت بینایینی یا لوله‌های منی‌ساز و  $\sum_{i=1}^n P_{total}$  کل نقاط برخورد کرده از پرورب با کل میدان دید می‌باشد. حجم کل مربوط به هر یک از اجزا به طور غیر مستقیم و به وسیله ضرب کردن دانسیته حجمی ( $Vv$ ) در حجم کل بیضه هر رت تخمین زده می‌شود (۱۸).

محاسبه طول، قطر، ارتفاع اپی‌تیلیوم زایشی و ضخامت غشای پایه لوله‌های منی‌ساز: به منظور محاسبه طول لوله‌های منی‌ساز، از برش‌های ۵ میکرونی و ابزکتیو با بزرگنمایی ۱۰ استفاده شد. فریم شمارش (Unbiased counting frame) بر روی حدود ۵ میدان دید از هر برش قرار گرفت و به طور میانگین ۱۲۰ لوله منی‌ساز در بیضه هر رت شمارش گردید. دانسیته طولی لوله‌های منی‌ساز نیز با استفاده از فرمول زیر محاسبه شد (۱۷، ۱۸).

$$L_v = 2 \times \frac{\sum_{i=1}^n Q_i}{a/f \cdot \sum_{i=1}^n p_i}$$

در معادله فوق،  $\sum Q_i$  مجموع لوله‌های انتخاب شده،  $a/f$  سطح فریم مورد نظر در مقیاس بافت (۲۲۰۰ میکرومتر) و  $\sum P_i$  مجموع نقاط برخورد کرده با بافت بیضه است. برای به دست آوردن طول کل لوله‌های منی‌ساز، دانسیته طولی (LV) در حجم نهایی بیضه ضرب شد (۱۸).

برای محاسبه میانگین قطر لوله‌های منی‌ساز، فریم مخصوص شمارش بر روی عکس‌های مربوط به میدان‌های

میدان‌های دید انتخابی،  $h$  ارتفاعی از برش که در آن شمارش صورت می‌گیرد (۱۰ میکرومتر) و  $a/f$  سطح فریم در مقیاس واقعی بافت (۴۶۰ میکرومتر) می‌باشد. برای محاسبه تعداد کل انواع سلول‌های مورد نظر، عدد حاصل در حجم کل بیضه مربوط ضرب شد.

$$N_{(Total)} = NV \times V_{(Total testis)}$$

در نهایت، داده‌های حاصل توسط نرم‌افزار SPSS نسخه One way (version 16, SPSS Inc., Chicago, IL) و آزمون‌های ANOVA و Tukey مورد تجزیه و تحلیل قرار گرفت و تفاوت میانگین‌ها در سطح  $0.05 < P$  معنی‌دار در نظر گرفته شد.

### نتایج

حجم کل بیضه، لوله‌های منی‌ساز و بافت بینایینی (میلی‌متر مکعب)

میانگین حجم کل بیضه رت‌ها در گروه NP نسبت به دو گروه  $p\text{-NP}$  و GTE +  $p\text{-NP}$  اختلاف معنی‌داری نشان داد ( $P < 0.05$ ). در گروه  $p\text{-NP}$  میانگین حجم لوله‌های منی‌ساز نسبت به سایر گروه‌ها کاهش معنی‌دار ( $P < 0.10$ ) و میانگین حجم بافت بینایینی افزایش معنی‌داری ( $P < 0.10$ ) داشت. این تغییر حجم در گروه  $p\text{-NP}$  به طور معنی‌دار و در حد گروه شاهد جبران شد ( $P < 0.10$ ). (جدول ۱).

برخورد (Intercept) به دست آمد و میانگین ضخامت غشای پایه با استفاده از معادله زیر محاسبه شد.

$$\text{Harmonic mean of orthogonal intercepts} = \frac{8}{3} \times \text{Harmonic mean layer thickness}$$

که در آن

$$\text{Harmonic mean} = \frac{\text{number of measurements}}{\sum \frac{1}{Q_i}}$$

$$\text{Length} = \text{number of measurements}/(\frac{1}{Q_{i1}} + \frac{1}{Q_{i2}} + \frac{1}{Q_{i3}} + \frac{1}{Q_{i4}} + \dots)$$

برای محاسبه تعداد انواع سلول‌ها از روش Optical disector و از فریم مخصوص شمارش استفاده شد (۱۸). برای این کار با استفاده از ابزکتیو با بزرگنمایی ۱۰۰ و استفاده از روش تصادفی منظم، از همه برش‌های ۲۰ میکرونی بیضه هر رت تعدادی میدان دید برای شمارش انواع سلول‌ها انتخاب گردید و برای شمارش، میکروکیتور (ND 221 B, Heidenhain, Germany) مورد استفاده قرار گرفت. به طور میانگین، ۱۳۰–۱۵۰ سلول در هر رت شمارش و دانسیته عددی ( $Nv$ ) انواع سلول‌ها از فرمول زیر محاسبه شد.

$$Nv = \frac{\sum_{i=1}^n Q_i}{\sum_{i=1}^n p_i \cdot \frac{a}{f}}$$

در فرمول فوق،  $\sum Q_i$  تعداد کل انواع سلول‌های شمارش شده،  $\sum p_i$  مجموع نقاط برخورد کرده با

جدول ۱. مقایسه میانگین حجم کل بیضه، لوله‌های منی‌ساز و بافت بینایینی در گروه‌های مختلف رت ۵۷ روز پس از تیمار

گروه‌ها	حجم کل بیضه (میلی‌متر مکعب)	حجم لوله‌های منی‌ساز (میلی‌متر مکعب)	حجم بافت بینایینی (میلی‌متر مکعب)
شاهد	میانگین $\pm$ انحراف معیار	میانگین $\pm$ انحراف معیار	میانگین $\pm$ انحراف معیار
	*۲۴۴/۷۳ $\pm$ ۱۵/۳۹	*۷۹۱/۲۹ $\pm$ ۵۲/۲۹	***۱۰۳۶/۰۲ $\pm$ ۵۸/۸۸
p-NP	**۲۹۳/۴۲ $\pm$ ۱۰/۶۰	**۷۰۱/۷۸ $\pm$ ۲۳/۹۵	**۹۹۸/۲۰ $\pm$ ۲۰/۵۴
GTE + p-NP	*۲۴۷/۵۷ $\pm$ ۲۷/۸۴	*۸۱۱/۳۳ $\pm$ ۳۶/۹۰	*۱۰۵۸/۹۱ $\pm$ ۳۳/۴۵
GTE	*۲۳۹/۸۰ $\pm$ ۲۸/۵۲	*۸۳۹/۱۰ $\pm$ ۳۵/۸۲	*۱۰۷۸/۹۱ $\pm$ ۲۴/۹۰

p-NP: Para-Nonylphenol; GTE: Green tea extract

لوله‌های منی‌ساز ( $P < 0.001$ ) در گروه p-NP در مقایسه با سایر گروه‌ها مشاهده شد. این نتایج نشان می‌دهد که GTE توانسته است طول، قطر، ارتفاع اپی‌تیلیوم زایشی و ضخامت غشای پایه لوله‌های منی‌ساز را در گروه p-NP + GTE در حد گروه شاهد بهبود دهد (جدول ۲).

طول (متر)، قطر، ارتفاع اپی‌تیلیوم زایشی و ضخامت غشای پایه لوله‌های منی‌ساز (میکرومتر) میانگین طول لوله‌های منی‌ساز در گروه p-NP نسبت به گروه شاهد کاهش داشت، اما این کاهش معنی‌دار نبود ( $P > 0.050$ )؛ در حالی که کاهش معنی‌داری در میانگین قطر لوله‌های منی‌ساز ( $P < 0.002$ )، ارتفاع اپی‌تیلیوم زایشی ( $P < 0.010$ ) و همچنین میانگین ضخامت غشای پایه

**جدول ۲.** مقایسه میانگین طول، قطر، ضخامت غشای پایه و ارتفاع اپی‌تیلیوم زایشی لوله‌های منی‌ساز در گروه‌های مختلف رت ۵۶ روز پس از تیمار

گروه‌ها	طول لوله‌های منی‌ساز (متر) (میکرومتر)	قطر لوله‌های منی‌ساز (میکرومتر)	ضخامت غشای پایه لوله‌های منی‌ساز (میکرومتر)	ارتفاع اپی‌تیلیوم زایشی لوله‌های منی‌ساز
شاهد	* $17/97 \pm 1/59$	* $295/91 \pm 8/97$	* $8/27 \pm 0/07$	میانگین $\pm$ انحراف معیار
p-NP	$15/56 \pm 1/18$	* $239/43 \pm 15/72$	* $8/39 \pm 0/29$	میانگین $\pm$ انحراف معیار
GTE + p-NP	* $17/20 \pm 1/85$	* $266/18 \pm 5/17$	* $8/10 \pm 0/17$	میانگین $\pm$ انحراف معیار
GTE	* $18/08 \pm 2/97$	* $271/59 \pm 4/29$	* $8/34 \pm 0/09$	میانگین $\pm$ انحراف معیار

p-NP: Para-Nonylphenol; GTE: Green tea extract

گردید. تیمار با GTE در گروه GTE + p-NP سبب افزایش معنی‌دار تعداد این سلول‌ها نسبت به گروه دریافت کننده p-NP شد ( $P < 0.050$ ). همچنین میانگین تعداد سلول‌های اسپرماتید در گروهی که تنها GTE دریافت کرده بودند، نسبت به سایر گروه‌ها افزایش معنی‌داری را نشان داد ( $P < 0.010$ ) (جدول ۳).

تعداد سلول‌های اسپرماتوگونی (نوع A و B)، اسپرماتوسیت، اسپرماتید و سرتولی میانگین تعداد سلول‌های اسپرماتوگونی نوع A و B در بین چهار گروه تغییر معنی‌داری نداشت ( $P > 0.050$ ). در گروه p-NP کاهش معنی‌داری در میانگین تعداد سلول‌های اسپرماتوسیت ( $P < 0.002$ )، اسپرماتید ( $P < 0.010$ ) و سرتولی ( $P < 0.050$ ) نسبت به دیگر گروه‌ها مشاهده شد.

جدول ۳. مقایسه میانگین تعداد انواع سلول‌های اسپرماتوگونی (نوع A و B)، اسپرماتوسیت، اسپرماتید و سرتولی ( $10^6 \times$ ) در گروه‌های مختلف

رت ۵۶ روز پس از تیمار

گروه‌ها	تعداد سلول‌های				
	سرتولی	اسپرماتید	اسپرماتوسیت	اسپرماتوگونی نوع B	اسپرماتوگونی نوع A
شاهد	$*30 \pm 3/0$	$*327 \pm 21/0$	$*140 \pm 9/0$	$*1/95 \pm 0/2$	$*8/80 \pm 0/6$
p-NP	$**24 \pm 2/0$	$**280 \pm 19/0$	$**110 \pm 19/0$	$*1/77 \pm 0/2$	$*8/57 \pm 0/5$
GTE + p-NP	$*28 \pm 1/0$	$*322 \pm 22/0$	$*139 \pm 8/0$	$*1/93 \pm 0/2$	$*8/68 \pm 0/9$
GTE	$*32 \pm 3/0$	$*377 \pm 26/0$	$*144 \pm 9/0$	$*2/05 \pm 0/2$	$*9/70 \pm 1/2$

p-NP: Para-Nonylphenol; GTE: Green tea extract

نداد ( $> 0/050$  P)، اما میانگین وزن بیضه پس از اتمام دوره تیمار در گروه p-NP نسبت به دو گروه GTE + p-NP و GTE کاهش معنی‌داری داشت ( $< 0/050$  P) (جدول ۴).

وزن بدن و بیضه  
میانگین وزن اولیه رت و وزن رت پس از اتمام دوره تیمار اختلاف معنی‌داری را در بین گروه‌های مختلف نشان

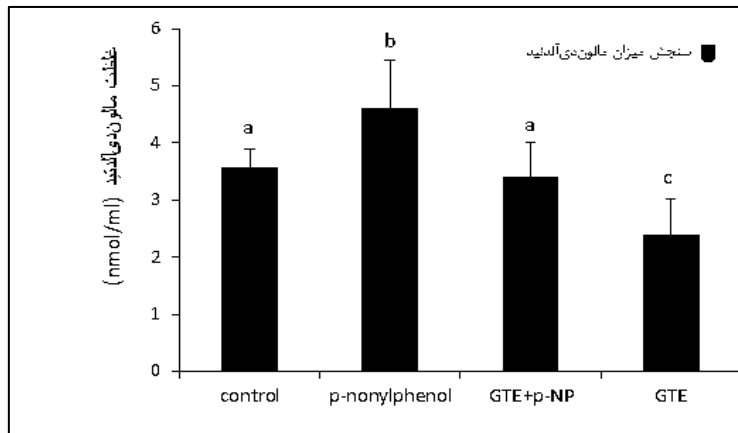
جدول ۴. مقایسه میانگین وزن رت و وزن بیضه در گروه‌های مختلف رت ۵۶ روز پس از تیمار

گروه‌ها	وزن اولیه رت (گرم)		
	وزن رت در پایان تیمار (گرم)	وزن بیضه رت (گرم)	وزن اولیه رت (گرم)
شاهد	میانگین $\pm$ انحراف معیار	میانگین $\pm$ انحراف معیار	میانگین $\pm$ انحراف معیار
	$***1/38 \pm 0/14$	$*294/83 \pm 15/51$	$*217/50 \pm 7/34$
p-NP	$**1/29 \pm 0/10$	$*259/17 \pm 22/32$	$*215/33 \pm 10/73$
GTE + p-NP	$*1/44 \pm 0/03$	$*277/50 \pm 28/15$	$*214/33 \pm 3/33$
GTE	$*1/47 \pm 0/06$	$*283/50 \pm 24/39$	$*213/33 \pm 15/00$

p-NP: Para-Nonylphenol; GTE: Green tea extract

MDA در گروه p-NP + GTE نسبت به گروه p-NP مشاهده شد ( $< 0/020$  P)؛ در حالی که غلظت MDA سرمه در گروه GTE نسبت به گروه شاهد کاهش معنی‌داری داشت ( $< 0/020$  P) (شکل ۱).

مقایسه غلظت MDA در بین گروه‌ها  
سطح MDA سرمه به عنوان مارکر لبیید پراکسیداسیون در گروه p-NP نسبت به گروه شاهد افزایش قابل توجهی نشان داد ( $< 0/050$  P) و در مقابل، کاهش معنی‌داری در میزان



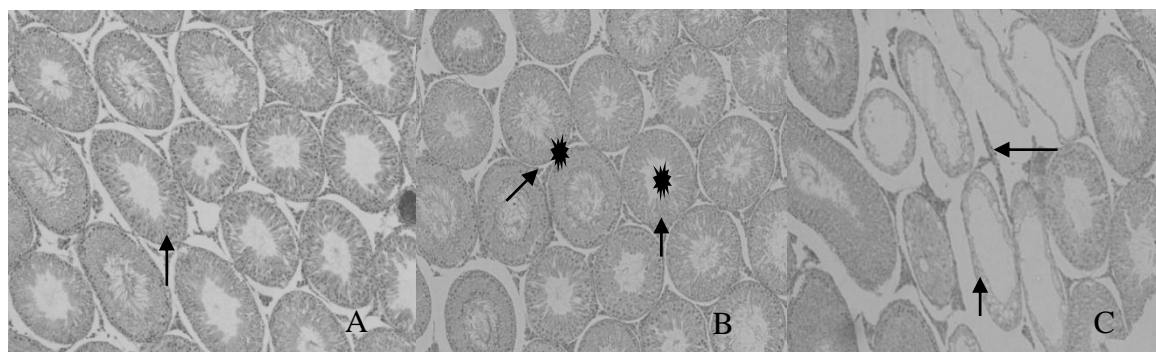
شکل ۱. میزان MDA (Malondialdehyde) (نمومول بر میلی متر) در گروههای مختلف رت ۵۶ روز پس از تیمار

هر ستون نشان دهنده میانگین  $\pm$  انحراف معیار می باشد.

p-NP: Para-Nonylphenol; GTE: Green tea extract

ارتفاع اپیتلیوم زایشی کاهش یافت. همچنین کاهش در تراکم اسپرم‌ها در لومن لوله‌های منی‌ساز و آثاری از واکوئل زایی در اپیتلیوم بعضی از لوله‌ها وجود داشت (شکل ۲، قسمت B). در گروه دریافت کننده GTE  $\pm$  p-NP نمای بافت‌شناسی بیضه تا حدودی شبیه نمونه طبیعی بود (شکل ۲، قسمت C).

بررسی‌های هیستوپاتولوژیک مطالعات هیستوپاتولوژیک نشان داد که بافت بیضه در گروه شاهد و گروه GTE طبیعی بود و اپیتلیوم زایشی لوله‌های منی‌ساز ترتیب و نظم سلولی طبیعی داشت (شکل ۲، قسمت A)، اما افزایش وسعت بافت بینایینی به همراه تخریب وسیع لوله‌های منی‌ساز در بیضه رت‌های گروه p-NP مشاهده شد. وسعت لومن در گروه p-NP افزایش و



شکل ۲. نمای میکروسکوپی از بافت بیضه رت‌های گروه شاهد (A)، p-NP (B) و GTE + p-NP (C) (رنگ آمیزی Heidenhain's azan) و بزرگنمایی  $\times 100$

ساختم بافت طبیعی به همراه آرایش طبیعی اپیتلیوم زایشی در گروه شاهد و گروه GTE + p-NP + (A) (پیکان)، افزایش وسعت بافت بینایینی (علامت ستاره)، آتروفی و تخریب لوله‌های منی‌ساز، کاهش ارتفاع اپیتلیوم زایشی به همراه واکوئله شدن اپیتلیوم (نوك پیکان) در گروه تیمار شده با (B) p NP

## بحث

بر کیلوگرم از NP بر روی رت‌های بالغ، موجب کاهش قطر و ضخامت اپی‌تلیوم زایشی لوله‌های منی‌ساز می‌شود (۲۱) که با نتایج مطالعه حاضر هم‌راستا است. از سوی دیگر، NP با آسیب زدن به اتصالات منفذدار ثبات غشای سلول‌های سرتولی می‌تواند باعث عدم اتصالات این سلول‌ها با سلول‌های جنسی شود که این امر خود باعث از بین رفتن اسپرماتوسیت‌ها، اسپرماتیدها و آزادسازی نا به هنگام اسپرماتوزوآ به لومن خواهد شد (۲۵، ۲۶). با از بین رفتن این سلول‌های جنسی می‌توان کاهش ارتفاع اپی‌تلیوم زایشی و نیز آتروفی لوله‌های منی‌ساز را انتظار داشت.

p-NP در مطالعه حاضر تعداد سلول‌های سرتولی، اسپرماتوسیت و اسپرماتید را تغییر داد، اما در تعداد سلول‌های اسپرماتوگونی A و B تغییری ایجاد نکرد. مطالعات نشان داده‌اند که سلول‌های اسپرماتوگونی در مقایسه با سلول‌های جنسی مقاوم‌تر هستند (۲۶). همچنین مشاهده شده است تیمار با NP منجر به هایپرتروفی سلول‌های سرتولی و افزایش سطح ROS داخل سلولی و مارکرهای (شاخص‌های) لیپید پراکسیداسیون می‌شود که ممکن است نقش مهمی در القای آپوپتوز این سلول‌ها داشته باشد (۱). مطالعه‌ای بیان کرد که NP از طریق ممانعت از فعالیت پمپ<sup>Ca2+</sup> در شبکه آندوپلاسمی، باعث القای آپوپتوز در سلول‌های بیضه رت به ویژه سلول‌های سرتولی می‌گردد (۲۷). سلول‌های سرتولی سلول‌های سوماتیکی هستند که یک تکیه‌گاه فیزیکی را برای سلول‌های جنسی فراهم نموده، عوامل رشد هورمون‌ها و سیگنال‌ها را به درون لوله‌های منی‌ساز (یعنی جایی که اسپرماتوژنر رخ می‌دهد) هدایت می‌کنند. بنابراین هر گونه تغییر در سلول‌های سرتولی می‌تواند منجر به آسیب اسپرماتوژنر و اسپرمیوژنر گردد (۱). در نهایت آسیب سلول‌های سرتولی - که یکی

در مطالعه حاضر اثر GTE در کاهش مسمومیت ناشی از p-NP مورد بررسی قرار گرفت. نتایج نشان داد که تیمار رت‌های بالغ با p-NP به میزان ۲۰۰ میلی‌گرم بر کیلوگرم به مدت ۵۶ روز منجر به افزایش معنی‌دار حجم بافت بینایینی و کاهش معنی‌دار حجم لوله‌های منی‌ساز، کاهش قطر، ارتفاع اپی‌تلیوم زایشی، ضخامت غشای پایه لوله‌های منی‌ساز و تعداد سلول‌های سرتولی، اسپرماتوسیت و اسپرماتید می‌شود. همچنین نتایج حاکی از آن بود که در پایان دوره تیمار، در وزن بدن و بیضه حیوانات گروه p-NP نسبت به گروه شاهد کاهشی صورت نگرفته است. میزان MDA سرم نیز در گروه p-NP نسبت به گروه شاهد افزایش معنی‌داری داشت. این یافته‌ها با نتایج مطالعات پیشین (۷، ۱۳، ۲۱) همخوانی دارد.

تیمار با NP موجب افزایش سطح ROS و لیپید پراکسیداسیون و کاهش فعالیت آنزیم‌های آنتی‌اکسیدانی مانند سوپراکسید دیسموتاز و گلوتاتیون ردوکتاز در بیضه رت می‌شود (۷). تحقیقی نشان داد که غلظت‌های میکرومولار از NP باعث القای استرس اکسیداتیو و سیتوتوکسیسیتی در شرایط آزمایشگاهی می‌گردد (۶). در پژوهش حاضر نیز سطح MDA - که محصول نهایی لیپید پراکسیداسیون است - در سرم رت‌های تیمار شده با p-NP افزایش معنی‌داری در مقایسه با سایر گروه‌ها داشت. مطالعات گذشته نشان داده‌اند که افزایش غلظت MDA ناشی از لیپید پراکسیداسیون منجر به آسیب اکسیداتیو سلولی می‌شود (۲۲) و آسیب اکسیداتیو خود می‌تواند منجر به مرگ سلول‌های جنسی و اختلال در اسپرماتوژنر گردد (۲۳). بنابراین کاهش قطر و ارتفاع اپی‌تلیوم زایشی و همچنین تعداد سلول‌های جنسی در مطالعه حاضر را می‌توان تا حدی ناشی از اثر استرس اکسیداتیوی NP دانست. بر اساس نتایج مطالعه‌ای، دوزهای ۱۰۰، ۲۵۰ و ۴۰۰ میلی‌گرم

بهبود یابد. برگشت تغییرات به وسیله GTE با نتایج تحقیقات زیادی (۱۱-۹) مطابقت دارد. میزان MDA سرم نیز در رت‌های گروه GTE + p-NP نسبت به رت‌های تیمار شده با p-NP کاهش معنی‌داری داشت. حتی این میزان در حیواناتی که تنها GTE دریافت کرده بودند، نسبت به گروه شاهد کاهش معنی‌داری را نشان داد. اثر مهاری GTE در برابر سمتی ناشی از دوکسوروبیسین بر بافت بیضه در پژوهش Patil و Balaraman نشان داده شد. در پژوهش آنان، GTE به میزان ۱۰۰ میلی‌گرم بر کیلوگرم به ازای وزن بدن توانست موجب بهبود وزن بدن، تعداد اسپرم، میزان تستوسترون، کاهش لیپید پراکسیداسیون و تغییرات هیستوپاتولوژیک بیضه (مانند آتروفی و افزایش وسعت بافت بینایینی) و نیز افزایش سطح آنزیم‌های آنتی‌اکسیدانی شود (۱۱). افزایش سطح آنزیم‌های آنتی‌اکسیدانی این تأثیر را از دست می‌نماید. این اثر در پژوهش‌های دیگری که بر روی موش و رت‌های تیمار شده با سمومی با توان القای استرس اکسیداسیون مشابه نیکوتین (۹) و کادمیوم (۱۰) انجام گرفته نیز نتایجی مشابه تحقیق Patil و Balaraman (۱۱) ارایه کرده‌اند.

مکانیسم محافظتی چای سبز ممکن است به علت خاصیت آنتی‌اکسیدانی آن باشد (۱۲). کاتچین‌های چای سبز ویژگی‌های آنتی‌اکسیدانی اورات، بتاکاروتون، ویتامین C و ویتامین E را در محافظت از سلول دارا هستند (۳۰)، علاوه بر آن، تجویز GTE باعث افزایش غلظت گلوتاتیون می‌شود (۱۲). بنابراین ممکن است چای سبز با افزایش ذخایر گلوتاتیون در بیضه، باعث حذف متابولیت‌های سمی NP گردد. پژوهش‌ها نشان داده‌اند که کاتچین‌ها توانایی مهار سوپراکسیدها و رادیکال‌های هیدروکسیل را دارند که این امر قابلیت چای سبز را در ممانعت از تشکیل رادیکال‌های آزاد و ایجاد اکسیداسیون اثبات می‌کند (۱۲، ۸). نتایج مطالعه حاضر نیز کاهش سطح MDA و در نهایت لیپید پراکسیداسیون را در سرم رت‌های تیمار شده با GTE + p-NP در مقایسه با گروه p-NP نشان داد.

از اهداف مسمومیت با p-NP به شمار می‌رود- سبب آسیب و آپوپتوز سلول‌های جنسی و در نتیجه کاهش تعداد آن‌ها خواهد شد. سایر مطالعات نیز گزارش کرده‌اند که NP منجر به القای استرس اکسیداسیون در سلول‌های سرتولی و در نتیجه آپوپتوز این سلول‌ها و همچنین آپوپتوز سلول‌های جنسی می‌شود (۲۷، ۲۶).

NP بر بیوسنتر تستوسترون تأثیر دارد و موجب کاهش میزان آن در دوزهای بالا می‌شود (۳). با کاهش تستوسترون، فرایند اسپرماتوژنز و میزان تکثیر سلولی هم که وابسته به این هورمون است، دچار اختلال می‌گردد (۲۸). به این ترتیب لوله‌های منی‌ساز بخش بزرگی از جمعیت سلولی خود را از دست می‌دهد و کاهش سلول‌های جنسی و در نتیجه کاهش ارتفاع اپی‌تیلیوم زایشی در لوله‌های منی‌ساز مشاهده خواهد شد.

در مطالعه حاضر، p-NP سبب افزایش معنی‌دار حجم بافت بینایینی و کاهش معنی‌دار حجم لوله‌های منی‌ساز شد. اثر p-NP بر روی بافت بیضه رت‌های نر بالغ توسط Shalaby و Saleh نیز مورد مطالعه قرار گرفت. در مطالعه آنان تیمار با دوز روزانه ۱۰۰ میلی‌گرم بر کیلوگرم از NP برای ۶ هفته، موجب آتروفی لوله‌های منی‌ساز و همچنین افزایش وسعت فضای بینایینی به همراه ادم در این بافت شد (۷). یکی از دلایل گشادشدن رگ‌ها و در نهایت ادم توسط p-NP را می‌توان عملکرد آن در ممانعت از نفوذ  $\text{Ca}^{2+}$  به واسطه کانال‌های کلسیمی نوع L در سلول‌های ماهیچه‌ای صاف رگ‌ها دانست (۲۹) که این ادم ایجاد شده در بافت بینایینی موجب افزایش وسعت بافت بینایینی در بیضه می‌شود.

در مطالعه حاضر GTE در گروه GTE + p-NP باعث شد که افزایش در حجم بافت بینایینی و کاهش در حجم لوله‌های منی‌ساز، قطر، ضخامت غشای پایه و ارتفاع اپی‌تیلیوم زایشی لوله‌های منی‌ساز و همچنین تعداد سلول‌های سرتولی، اسپرماتوسیت و اسپرماتید در حد گروه شاهد

بیضه و GTE نیز به دلیل خاصیت آنتی اکسیدانتی خود (۱۲)، سبب از بین رفتن رادیکال‌های آزاد ناشی از p-NP و در نهایت کاهش سمیت p-NP بر بافت بیضه رت می‌شود.

### سپاسگزاری

مقاله حاضر حاصل طرح تحقیقاتی (شماره ۹۲/۴۶۲۵ تاریخ ۱۳۹۲/۷/۱) بود. بدین‌وسیله از معاونت محترم شورای پژوهشی دانشگاه و همچنین پژوهشکده گیاهان دارویی کرج به منظور تهیه عصاره چای سبز و همکاری در اجرای طرح، تقدیر و تشکر به عمل می‌آید.

مطالعات پیشین اثر ضد آپوپتوزی چای سبز را نیز اثبات کرده‌اند (۳۱). همچنین گزارش شده است که اپی‌گالوکاتچین گالات (EGCG) Epigallocatechin gallate یا موجود در چای سبز از طریق اثر بر تقسیم سلولی و اثر ضد آپوپتوزی، موجب تکثیر، تقسیم و تحریک رشد سلول‌های طبیعی می‌شود (۳۲)، پس این احتمال وجود دارد که چای سبز با کاهش یا مهار آپوپتوز نیز باعث کاهش مرگ سلولی ناشی از p-NP شده باشد.

با توجه به یافته‌های به دست آمده، می‌توان برداشت کرد که p-NP با سوق دادن شرایط فیزیولوژیک به سمت استرس اکسیداتیو (۷)، باعث آسیب رساندن به بافت

## References

1. Lukáčová J, Knažická Z, Tvrda E, Lukáč N, Massanyi P. The toxic effect of 4-nonylphenol on male reproductive system. *Journal of Microbiology, Biotechnology and Food Sciences* 2013; 2: 1455-68.
2. Kim YS, Katase T, Makino M, Uchiyama T, Fujimoto Y, Inoue T, et al. Separation, structural elucidation and estrogenic activity studies of the structural isomers of 4-nonylphenol by GC-PFC coupled with MS and NMR. *Australasian Journal of Ecotoxicology* 2005; 11: 137-48.
3. Gong Y, Han XD. Effect of nonylphenol on steroidogenesis of rat Leydig cells. *J Environ Sci Health B* 2006; 41(5): 705-15.
4. Riva C, Porte C, Binelli A, Provini A. Evaluation of 4-nonylphenol in vivo exposure in Dreissena polymorpha: Bioaccumulation, steroid levels and oxidative stress. *Comp Biochem Physiol C Toxicol Pharmacol* 2010; 152(2): 175-81.
5. Verner MA, Magher T, Haddad S. High concentrations of commonly used drugs can inhibit the in vitro glucuronidation of bisphenol A and nonylphenol in rats. *Xenobiotica* 2010; 40(2): 83-92.
6. Gong Y, Han XD. Nonylphenol-induced oxidative stress and cytotoxicity in testicular Sertoli cells. *Reproductive Toxicology* 2006; 22(4): 623-30.
7. Shalaby K, Saleh E. Ameliorative Effect of Honey Bee Propolis on the Nonylphenol Induced-Reproductive Toxicity in Male Albino Rats. *Journal of Applied Sciences Research* 2011; 7(11): 918.
8. Sutherland BA, Rahman RM, Appleton I. Mechanisms of action of green tea catechins, with a focus on ischemia-

- induced neurodegeneration. *J Nutr Biochem* 2006; 17(5): 291-306.
9. Gawish AM, Ramadan S, Hassan AM, Issa AM. Morphometrical, histopathological, and cytogenetical ameliorating effects of green tea extract on nicotine toxicity of the testis of rats. *J Cytol Histol* 2010; 1: 105.
  10. El-Shahat AE, Gabr A, Meki AR, Mehana ES. Altered testicular morphology and oxidative stress induced by cadmium in experimental rats and protective effect of simultaneous green tea extract. *Int J Morphol* 2009; 27(3): 757-64.
  11. Patil LJ, Balaraman R. Green tea extract protects doxorubicin induced testicular damage in rats. *Pharmacologyonline* 2008; 3: 913-25.
  12. Frei B, Higdon JV. Antioxidant activity of tea polyphenols in vivo: evidence from animal studies. *J Nutr* 2003; 133(10): 3275S-84S.
  13. Han XD, Tu ZG, Gong Y, Shen SU, Wang XY, Kang LN, et al. The toxic effects of nonylphenol on the reproductive system of male rats. *Reproductive Toxicology* 2004; 19(2): 215-21.
  14. Mandarim-de-Lacerda CA. Stereological tools in biomedical research. *An Acad Bras Cienc* 2003; 75(4): 469-86.
  15. Latendresse JR, Warbritton AR, Jonassen H, Creasy DM. Fixation of testes and eyes using a modified Davidson's fluid: comparison with Bouin's fluid and conventional Davidson's fluid. *Toxicol Pathol* 2002; 30(4): 524-33.
  16. Buege JA, Aust SD. Microsomal lipid peroxidation. *Methods Enzymol* 1978; 52: 302-10.
  17. Mouton PR. Length and surface area. In: Mouton PR, Editor. *Principles and practices of unbiased stereology: an introduction for bioscientists*. Baltimore, Maryland: Johns Hopkins University Press, 2002. p. 103-5.
  18. Mehranjani MS, Noorafshan A, Momeni HR, Abnosi MH, Mahmoodi M, Anvari M, et al. Stereological study of the effects of vitamin E on testis structure in rats treated with para-nonylphenol. *Asian J Androl* 2009; 11(4): 508-16.
  19. Dalgaard M, Pilegaard K, Ladefoged O. In utero exposure to diethylstilboestrol or 4-n-nonylphenol in rats: number of sertoli cells, diameter and length of seminiferous tubules estimated by stereological methods. *Pharmacol Toxicol* 2002; 90(2): 59-65.
  20. Ferrando RE, Nyengaard JR, Hays SR, Fahy JV, Woodruff PG. Applying stereology to measure thickness of the basement membrane zone in bronchial biopsy specimens. *J Allergy Clin Immunol* 2003; 112(6): 1243-5.
  21. de JC, Bornman MS, van der Horst G. The effect of p-nonylphenol, an environmental toxicant with oestrogenic properties, on fertility potential in adult male rats. *Andrologia* 1999; 31(2): 99-106.
  22. Vidyasagar J, Karunakar N, Reddy MS, Rajnarayana K, Surender T, Krishna DR. Oxidative stress and antioxidant status in acuteorganophosphorous insecticide

- poisoning. *Indian J Pharmacol* 2004; 36(2): 76-9.
23. Mathur PP, Huang L, Kashou A, Vaithinathan S, Agarwal A. Environmental Toxicants and Testicular Apoptosis. *The Open Reproductive Science Journal* 2011; 3: 114-24.
24. Varghese AC, du Plessis SS, Agarwal A. Male gamete survival at stake: causes and solutions. *Reprod Biomed Online* 2008; 17(6): 866-80.
25. Jedlinska-Krakowska M, Bomba G, Jakubowski K, Rotkiewicz T, Jana B, Penkowski A. Impact of oxidative stress and supplementation with vitamins E and C on testes morphology in rats. *J Reprod Dev* 2006; 52(2): 203-9.
26. Aydos K, Guven MC, Can B, Ergun A. Nicotine toxicity to the ultrastructure of the testis in rats. *BJU Int* 2001; 88(6): 622-6.
27. Hughes PJ, McLellan H, Lowes DA, Kahn SZ, Bilmen JG, Tovey SC, et al. Estrogenic alkylphenols induce cell death by inhibiting testis endoplasmic reticulum Ca(2+) pumps. *Biochem Biophys Res Commun* 2000; 277(3): 568-74.
28. McLachlan RI, O'Donnell L, Meachem SJ, Stanton PG, de Kretser DM, Pratis K, et al. Identification of specific sites of hormonal regulation in spermatogenesis in rats, monkeys, and man. *Recent Prog Horm Res* 2002; 57: 149-79.
29. Ruehlmann DO, Steinert JR, Valverde MA, Jacob R, Mann GE. Environmental estrogenic pollutants induce acute vascular relaxation by inhibiting L-type Ca<sup>2+</sup> channels in smooth muscle cells. *FASEB J* 1998; 12(7): 613-9.
30. Pietta PG, Simonetti P, Gardana C, Brusamolino A, Morazzoni P, Bombardelli E. Catechin metabolites after intake of green tea infusions. *Biofactors* 1998; 8(1-2): 111-8.
31. Khan N, Afaq F, Saleem M, Ahmad N, Mukhtar H. Targeting multiple signaling pathways by green tea polyphenol (-)-epigallocatechin-3-gallate. *Cancer Res* 2006; 66(5): 2500-5.
32. Nie S, Xie M, Fu Z, Wan Y, Yan A. Study on the purification and chemical compositions of tea glycoprotein. *Carbohydrate Polymers* 2008; 71(4): 626-33.

## The Effect of Green Tea (*Camellia Sinensis*) on Rat Testicular Tissue Following Exposure to Para-Nonylphenol

Mohammad Ali Shariatzadeh, Ph.D.<sup>1\*</sup>, Malek Soleimani-Mehranjani, Ph.D.<sup>2</sup>, Samira Naderi-Noreini, M.Sc.<sup>3</sup>

1. Professor of Histology & Embryology, Department of Biology, Faculty of Science, Arak University, Arak, Iran

2. Associate Professor of Histology & Embryology, Department of Biology, Faculty of Science, Arak University, Arak, Iran

3. Master of Developmental Biology, Department of Biology, Faculty of Science, Arak University, Arak, Iran

\* Corresponding author; e-mail: s-shariatzadeh@araku.ac.ir

(Received: 12 July 2014 Accepted: 31 Dec. 2014)

### Abstract

**Background & Aims:** Para-Nonylphenol (p-NP) can cause oxidative stress through reducing the activity of scavenging enzymes. The aim of the present study was to investigate the effect of green tea extract, as an antioxidant, on testis in rats exposed to p-NP.

**Methods:** In the present study, 24 Wistar rats with mean body weight of  $215 \pm 10$  g were divided into 4 groups ( $n = 6$ ). The first group was considered as the control group. The treatment group, respectively, received p-NP (200 mg/kg/day), green tea extract (200 mg/kg/day), and p-NP + green tea extract orally for 56 days. Then, the rats were sacrificed and their right testis removed. After tissue processing and staining, the volume of seminiferous tubules and interstitial tissue, seminiferous tubules length and diameter, height of germinal epithelium, basement membrane thickness, and the number of cell types were estimated stereologically. The concentration of serum malondialdehyde (MDA) was also evaluated. Data were analyzed using one-way ANOVA. All P values of less than 0.05 were considered significant.

**Results:** The mean volume and diameter of seminiferous tubules, the thickness of their basement membrane, germinal epithelium height, and mean total number of spermatocytes, spermatids, and Sertoli cells significantly reduced in the p-NP group compared to other groups. MDA concentration in rats treated with p-NP significantly increased compared with the control group.

**Conclusion:** Green tea seems to have a protective role in p-NP-induced toxicity in testis tissue. Thus, the results suggest that consumption of green tea, as an antioxidant agent, can play an important role in preventing the side effects of p-NP exposure in industrial areas.

**Keywords:** Green tea hydroalcoholic extract, Para-Nonylphenol, Rat, Stereology, Testis

Journal of Kerman University of Medical Sciences, 2015; 22(5): 510-523